

## เอกสารอ้างอิง

- เอกสารอ้างอิง [ม.ป.ป.] ค้นเมื่อ 3 กันยายน 2549 [จาก <http://www.nrel.gov>]  
พรเทพ ตอนแก้ว พัฒนา เหล้าไบบูลย์ ลักษณะ เหล้าไบบูลย์ และประสิทธิ์ ใจศิล. 2547. รายงานการวิจัยเรื่องการ  
เปรียบเทียบประสิทธิภาพในการผลิตเอทานอลจากข้าวฟ่างหวาน โดย *Saccharomyces cerevisiae* ด้วยวิธีการหมัก  
แบบง่าย และกึ่งก. ขอนแก่น : สำนักงานคณะกรรมการการวิจัยแห่งชาติ และภาควิชาเคมี ในมหาวิทยาลัยขอนแก่น  
พรพจน์ นาราคำน เมธาวี ศรีสวัสดิ์ และภูมิชัย ศรีภิญโญ. 2547. การผลิตเอทานอลจากเปลือกและแกนตับประดิษฐ์โดยการ  
หมักแบบง่าย. รายงานโครงการพิเศษทางวิศวกรรมเคมี. ขอนแก่น : คณะวิศวกรรมศาสตร์ มหาวิทยาลัยขอนแก่น.  
มาโนช โพธิ์สุก. 2546. การผลิตเอทานอลที่ได้จากน้ำเชื่อมที่ได้จากการปรับสภาพกามันสำปะหลัง โดยแบคทีเรีย  
*Zymomonas mobilis*. วิทยานิพนธ์หลักสูตรวิทยาศาสตรมหาบัณฑิต สาขาวิชาเคมี ในมหาวิทยาลัยขอนแก่น.  
สถาบันค้นคว้าและพัฒนาผลิตผลทางการเกษตรและอุตสาหกรรมเกษตร. 2549. การนำของเสียจากการผลิตเอทานอลมาใช้  
ประโยชน์เพื่อเพิ่มน้ำค่า. กรุงเทพฯ : สถาบันค้นคว้าและพัฒนาผลิตผลทางการเกษตรและอุตสาหกรรมเกษตร  
มหาวิทยาลัยเกษตรศาสตร์.  
สมใจ สิริโชค. 2547. เทคโนโลยีการหมัก. กรุงเทพฯ : ศูนย์ส่งเสริมกรุงเทพฯ.  
สมพร อิศวราตนนท์ และก้าวแรงค์ ศรีรอด. 2546. การศึกษาวิจัยเพื่อกำหนดคิททางการพัฒนาอุตสาหกรรมเอทานอลของ  
ประเทศไทย. รายงานการวิจัยเสนอสำนักงานคณะกรรมการการอุดหนุนแห่งชาติ กระทรวงอุตสาหกรรม. ค้นเมื่อ 3  
กันยายน 2549 [จาก <http://www.ocs.or.th/News/effect.html>].  
สนั่น จอกลอบ. 2549. แก่นตะวัน. ขอนแก่น : คณะเกษตรศาสตร์ มหาวิทยาลัยขอนแก่น. (จุลสาร).  
Cazetta, M.L., Celligoi, M.A.P.C., Buzato, J.B., and Scarmino, I.S. 2007. Fermentation of molasses by *Zymomonas mobilis*: Effects of temperature and sugar concentration on ethanol production. *Bioresource Technology*. 98 (15): 2824-2828.  
Duke, J.A. 1983. *Helianthus tuberosus* L. Handbook of Energy Crops. Retrieved June 20, 2006 [Available from  
[http://www.hort.purdue.edu/newcrop/duke\\_energy/Helianthus\\_tuberosus.html](http://www.hort.purdue.edu/newcrop/duke_energy/Helianthus_tuberosus.html)].  
Ge, X.Y., and Zhang, W.G. 2005. Production of ethanol from Jerusalem artichoke tubers. *Food Technology and  
Biotechnology*. 43(3): 241-246.  
Gunasekaran, P., Karunakaran, T., and Kasthuribai, M. 1986. Fermentation pattern of *Zymomonas mobilis* strains on  
different substrates – a comparative study. *Journal of Biosciences*. 10(2): 181-186.  
Kenneth Todar University of Wisconsin-Madison Department of Bacteriology. 2007. The diversity of metabolism in  
prokaryotes. Retrieved January 2, 2008. [Available from <http://www.textbookofbacteriology.net>].  
Khaewthonma, T., Ruanglek, V., Duandusittaphan, Y., Ishizaki, A., and Tripetchkul, S. 2001. Enhancement of ethanol  
production using pH – auxostat by *Zymomonas mobilis*. BioThailand. November 7-10, 2001, Queen Sirikit  
National Convention Center, Bangkok, Thailand.  
Kim, C.H., Abidin, Z., Ngee, C.C., and Rhee, S.K. 1992. Pilot-scale ethanol fermentation by *Zymomonas mobilis* from  
simultaneously saccharified sago starch. *Bioresource Technology*. 40(1): 1-6.

- Linqyun, W., Jianhua, W., Xiaodong, Z., Da, T., Yalin, Y., Chenggang, C., Tianhua, F., and Fan, Z. 2007. Studies on the extracting technical conditions of inulin from Jerusalem artichoke tubers. *Journal of Food Engineering*. 79(3): 1087-1093.
- Magaritis, A., and Bajpai, P. 1982a. Effect of sugar concentration in Jerusalem artichoke extract on *Kluyveromyces marxianus* growth and ethanol production. *Applied and Environmental Microbiology*. 45(2): 723-725.
- Magaritis, A., and Bajpai, P. 1982b. Ethanol inhibition kinetics of *Kluyveromyces marxianus* growth on Jerusalem artichoke juice. *Applied and Environmental Microbiology*. 44(6): 1325-1329.
- Mohagheghi, A., Ruth, M., and Schell, D.J. 2006. Conditioning hemicelluloses hydrolysates for fermentation: effects of over liming pH on sugar and ethanol yields. *Process Biochemistry*. 41(8): 1806-1811.
- Naib. 2007. The other ethanol-making ethanol from cellulose. Retrieved June 29, 2006. [Available from <http://www.blog.thesietch.org/html>].
- Nakamura, T., Ogata, Y., Hamada, S., and Ohta, K. 1996. Ethanol production from Jerusalem artichoke tubers by *Aspergillus niger* and *Saccharomyces cerevisiae*. *Journal of Fermentation and Bioengineering*. 81(6): 564-566.
- Nowak, J. 2000. Ethanol yield and productivity of *Zymomonas mobilis* in various fermentation methods. Retrieved June 20, 2006. [Available from <http://www.ejpau.media.pl/volum3/issue2/food/art-04.html>].
- Ohta, K., Hamada, S., and Nakamura, T. 1992. Production of high concentrations of ethanol from inulin by simultaneous saccharification and fermentation using *A. niger* and *S. cerevisiae*. *Applied and Environmental Microbiology*. 59(3): 729-733.
- Paslk, R.A. 2001. Biochemical pathway diagrams. Retrieved January 2, 2008. [Available from <http://www.humboldt.edu/rap1/C431.F01/PathwayDiagrams/PathIndex>].
- Patle, S., and Lal, B. 2008. Investigation of the potential of agro-industrial material as low cost substrate for ethanol production by using *Candida tropicalis* and *Zymomonas mobilis*. *Biomass and Bioenergy*. 32(7): 596-602.
- Ponceta, S., Jacob, F.H., Berton, M.C., and Couble, A. 1985. Fermentation alcoolique de l'inuline par quelques souches de levures. *Annales de l'Institut Pasteur. Microbiology*. 136:99-109.
- Rogers, P.L., Lee, K.L., Tribe, D.E. 1980. High productivity ethanol fermentation with *Zymomonas mobilis*. *Procees Biochemistry*. 15: 7-11.
- Schorr-Galindo, S., Ghommidh, C., and Guiraud, J.P. 2000. Influence of yeast flocculation on the rate of Jerusalem artichoke extract fermentation. *Current Microbiology*. 41: 89-95.
- Swings, J. and De Ley, J. 1977. The Biology of *Zymomonas*. *Bacteriological Review*. 1-46.
- Szambelan, K., Nowak, J. and Czarnecki, Z. 2004. Use of *Zymomonas mobilis* and *Saccharomyces cerevisiae* mixed with *Kluyveromyces fragilis* for improved ethanol production from Jerusalem Artichoke Tubers, *Biotechnology Letters*, 26: 845-848
- Szambelan, K., Nowak, J., Chrapkowska, K.J. 2004. Comparison of bacterial and yeast ethanol fermentation yield from Jerusalem artichoke (*Helianthus tuberosus* L.) tubers pulp and juices. *Acta Sci. Pol. Technol. Aliment.* 3: 45-53.
- Tao F., Miao J.Y., Shi G.Y., Zhang K.C. (2005). Ethanol fermentation by an acid-tolerant *Zymomonas mobilis* under non-sterilized condition. *Process Bio chemistry*. 40: 183-187.

Zamora, A. 2005. Carbohydrates-Chemical Structure. Retrieved January 2, 2008. [Available from <http://www.scientificpsychic.com/fitness/carbohydrates1>].

**ภาคผนวก ก**  
**การปรับปรุงความปลอดภัย**

## การปรับปริมาณของแข็งละลาย

ปรับปริมาณของแข็งละลายในน้ำหวานที่สักคั่ดได้จากหัวแก่นตะวันโดยใช้น้ำตาลกลูโคสและใช้ Hand Refractometer วัดในหน่วยองศาบริกซ์ โดยมีการคำนวณดังสมการ

ปริมาณของน้ำตาลกลูโคสที่ใช้เติม (กิโลกรัม)

$$= \frac{(ปริมาณของแข็งละลายที่ต้องการ - ปริมาณของแข็งละลายที่วัดได้) \times \text{ปริมาตรสารละลาย}}{100 - \text{ปริมาณของแข็งละลายที่ต้องการ}} \quad (\text{ลิตร})$$

ตัวอย่างการคำนวณ

น้ำสักคั่ดจากหัวแก่นตะวันมีปริมาณของแข็งละลายเริ่มต้น 16 องศาบริกซ์ ต้องการเตรียมให้ได้ปริมาณของแข็งละลายเป็น 21 องศาบริกซ์ ปริมาตร 350 มิลลิลิตร ทำได้ดังนี้

จากสมการ หาปริมาณน้ำตาลทราย (กิโลกรัม)

$$\begin{aligned} &= \frac{(21 \text{ องศาบริกซ์} - 16 \text{ องศาบริกซ์})}{100 - 21 \text{ องศาบริกซ์}} \times 0.35 \text{ ลิตร} \\ &= 0.022 \text{ กิโลกรัม} \end{aligned}$$

ดังนั้น ต้องเติมน้ำตาลกลูโคส 0.022 กิโลกรัม ลงไปในน้ำหวานปริมาตร 350 มิลลิลิตร เพื่อปรับความหวานให้เป็น 21 องศาบริกซ์

**ภาคผนวก ข**  
**การหาอัตราการเจริญจำเพาะของจุลินทรีย์**

## การหาอัตราการเจริญจำเพาะของจุลินทรีย์

เมื่อเพาะเลี้ยงจุลินทรีย์ในอาหาร ระยะแรกเป็นระยะที่จุลินทรีย์กำลังปรับตัว เชลล์จะยังไม่มีการเพิ่มจำนวน เรียกระยะนี้ว่า lag phase หลังจากนั้นจุลินทรีย์จะมีอัตราการเจริญเพิ่มขึ้นตามลำดับ จนกระทั่งเข้าสู่ exponential หรือ log phase ซึ่งเป็นระยะที่จุลินทรีย์มีอัตราการเจริญสูงสุดและคงที่ การเจริญของจุลินทรีย์ในระยะ log phase เขียนเป็นสมการ ได้ดังนี้

$$\frac{dx}{dt} = \mu x \quad (1)$$

เมื่อ	$x$	=	ปริมาณเชลล์ มีหน่วยเป็นเชลล์ต่อมิลลิลิตร
	$t$	=	เวลา มีหน่วยเป็นชั่วโมง
	$\mu$	=	อัตราการเจริญจำเพาะ (specific growth rate) มีหน่วยเป็นต่อชั่วโมง

เมื่อ integrate สมการ (1) จะได้

$$x_t = x_0 e^{\mu t} \quad (2)$$

เมื่อ	$x_0$	=	ปริมาณเชลล์เริ่มต้น
	$x_t$	=	ปริมาณเชลล์หลังการเพาะเลี้ยงเป็นเวลา $t$ ชั่วโมง
	$e$	=	ฐานของ natural logarithm

เมื่อใส่ natural logarithm ในสมการ (2) จะได้

$$\ln x_t = \ln x_0 + \mu t \quad (3)$$

ดังนั้นเมื่อเขียนกราฟระหว่าง natural logarithm ของจำนวนเชลล์กับเวลา จะได้กราฟเส้นตรงซึ่งมีค่าความค่าเอียง (slope) เท่ากับอัตราการเจริญจำเพาะสูงสุด ( $\mu_{max}$ ) ซึ่งจะแตกต่างกันไปตามชนิดของจุลินทรีย์และสภาพแวดล้อมในการเลี้ยง

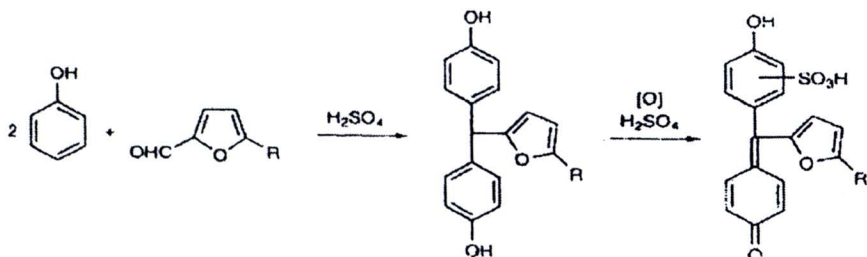
ภาคผนวก ค  
การวัดปริมาณน้ำตาลทั้งหมดโดยวิธี Phenol – sulfuric

## การวัดปริมาณน้ำตาลทั้งหมดโดยวิธี Phenol – sulfuric

การหาปริมาณน้ำตาลทั้งหมดด้วยวิธีนี้สามารถตรวจวัดปริมาณน้ำตาลได้ในช่วง 1 – 100 ไมโครกรัม กรูโคส และเป็นวิธีการที่รวดเร็วที่จะใช้วิเคราะห์หาปริมาณคาร์โบไฮเดรตที่ไม่จำเพาะเจาะจง เพราะไม่ว่าน้ำตาลนั้นจะอยู่ในรูปน้ำตาลหรือน้ำตาลในธรรมชาติที่พบอยู่ในรูป mono-, di-, tri-, oligo- และ polysaccharide ก็สามารถวิเคราะห์หาปริมาณด้วยวิธีนี้ได้

### 1 หลักการทางปฏิกริยา (Scherz and Bonn, 1998)

น้ำตาล mono-, di-, tri-, oligo- และ polysaccharides ทำปฏิกริยากับฟีโนลและกรดซัลฟิวริกเข้มข้นที่อุณหภูมิสูง ต่างผลให้เกิดการเปลี่ยนแปลงเป็นสารที่มีสี สามารถดูดซับแสงสูงสุดที่ความยาวคลื่นแสง 480 – 490 นาโนเมตร สำหรับกลไกการเกิดปฏิกริยาเชื่อว่าในกรณีน้ำตาล oligo- และน้ำตาล polysaccharide ถูกตัดพันธะอีเชอร์ร์ระหว่างโมเลกุลให้ออกจากกันด้วยกรด พร้อมกันนั้นก็เกิดปฏิกริยาจัดน้ำออก และมีการแทนที่ด้วยอนุพันธุ์ของเฟอร์ฟูรอล (furfural derivatives) ซึ่งจะเกิดการรวมตัวกับฟีโนล กลายไปเป็นสีไตรเออริลเมทีน เป็นสารประกอบสีส้ม (triaryl methane dyes)



รูปที่ พ. 1 ปฏิกริยาระหว่างฟีโนลและการ์โบไฮเดรต (ฟรูโคโตส) ในกรดซัลฟิวริกเข้มข้นได้ผลิตภัณฑ์ เป็นสารประกอบที่มีสีส้มของสาร triaryl methane dyes (Scherz and Bonn, 1998)

### 2 สารเคมี

- สารละลายน้ำ 5% (น้ำหนักต่อปริมาตร) เตรียมได้โดยละลายผลึกของฟีโนล 5.0 กรัม ในน้ำกลั่น 100 มิลลิลิตร
- กรดซัลฟิวริกเข้มข้น

### 3 วิธีการวิเคราะห์

- 1) ใส่สารตัวอย่างปริมาตร 1 มิลลิลิตร ลงในหลอดทดลอง (ใช้น้ำกลั่นเป็น blank)
- 2)เติมสารละลายน้ำ 1 มิลลิลิตร ลงในสารตัวอย่างและผสมให้เข้ากัน
- 3)เติมกรดซัลฟิวริกเข้มข้น 5 มิลลิลิตร ลงในสารผสมในข้อ 2 ตั้งทิ้งไว้ 10 นาที แล้วเบี่ยงแรง ๆ ผสมให้เข้ากันด้วยเครื่องผสมสารละลายน้ำ (vortex mixer) (ระวังกรดผสมน้ำจะร้อนเดือด) ตั้งทิ้งไว้ประมาณ 20 นาที
- 4) นำสารตัวอย่างในแต่ละหลอดไปวัดค่าการดูดกลืนแสงที่ความยาวคลื่น 490 นาโนเมตร เทียบความเข้มข้นกับกราฟสารละลายน้ำตามมาตรฐาน (standard curve)

### 4 ปัญหาที่เกิดขึ้นและแนวทางแก้ไข

1) ค่าที่ได้ไม่แน่นอน แก้ไขโดยการพยายามควบคุมการทดลองให้เหมือน ๆ กันทุกครั้ง ซึ่งต้องไปรับวิธีการตามความเหมาะสม และเพื่อให้ได้ค่าที่แม่นยำควรทำการทดลองซ้ำและควรมีการทำซ้ำสารละลายน้ำตาลมาตรฐานควบคู่ไปด้วยทุกครั้ง

2) กรณ์เพิ่มขั้นละลายน้ำแล้วคาดความร้อน จะมีอุณหภูมิสูง และมีฤทธิ์กัดกร่อนควรทำการทดลองด้วยความระมัดระวัง

## 5 การคำนวณปริมาณน้ำตาลทั้งหมด

ปริมาณน้ำตาลทั้งหมดสามารถคำนวณได้จากสมการต่อไปนี้

$$\text{ปริมาณน้ำตาลทั้งหมด (กรัมต่อลิตร)} = \frac{\text{ค่าการดูดกลืนแสง (OD}_{490}\text{)}}{\text{ความชัน}} \times \frac{1}{\text{การเจือจาง}}$$

โดยที่ความชัน = ค่าความชัน (slope) ของกราฟมาตรฐาน

และการเจือจาง = ค่าการเจือจางตัวอย่างที่ใช้เคราะห์

#### ภาคผนวก ง

การวิเคราะห์ปริมาณน้ำตาลรีดิวซ์ โดยวิธี Dinitrosalicylic acid (DNS)

## การวิเคราะห์ปริมาณน้ำตาลรีดิวซ์ โดยวิธี Dinitrosalicylic acid (DNS)

วิธีการนี้สามารถใช้ตรวจหาปริมาณน้ำตาลรีดิวซ์ที่มีปริมาณอยู่ในช่วงระหว่าง 5 – 500 มิโครกรัมของน้ำตาลกลูโคส

### 1 หลักการทำงานปฏิกิริยา (Scherz and Bonn, 1998)

การต้มน้ำตาลรีดิวซ์ในสารละลายค่างที่มีกรด ได้ใน โตรชาลิไซคลิค ซึ่งสารตัวนี้จะเปลี่ยนรูปไปเป็นสารที่มีสีเข้มขึ้น ซึ่งมีค่าการดูดกลืนแสงสูงสุดที่ความยาวคลื่นแสงช่วง 500 – 550 นาโนเมตร ปฏิกิริyanี้จะไม่บุคจนกว่าจะเกิดผลิตภัณฑ์หมด เชื่อว่าสีของผลิตภัณฑ์นั้นเป็นสีของ 3-amino-5-nitrosalicylic acid



รูปที่ ผ.3 ปฏิกิริยาระหว่างน้ำตาลรีดิวซ์และสาร 3, 5-dinitrosalicylic acid ได้ผลิตภัณฑ์ที่มีสีเข้ม

ของ 3-amino-5-nitrosalicylic acid (Scherz and Bonn, 1998)

### 2 สารเคมี

- 2 N NaOH 50 มิลลิลิตร (เตรียมโดยละลาย NaOH ปริมาณ 4 กรัม ในน้ำกลั่นปริมาตร 50 มิลลิลิตร)
- DNS solution เตรียมโดยละลาย 3, 5-dinitrosalicylic acid (DNS) 2.5 กรัม ใน 50 มิลลิลิตร ของ 2 N NaOH เดิน Sodium potassium tartrate (Rochelle salt) ลงไป 75 กรัม และคนจนกระทั้งสารละลายหมด จึงเติมน้ำให้ได้ปริมาตรสุดท้ายเป็น 250 มิลลิลิตร เก็บในขวดสีน้ำตาลที่อุณหภูมิห้อง ซึ่งสามารถเก็บไว้ได้นานหลายสัปดาห์

### 3 วิธีวิเคราะห์

- 1) ดูดตัวอย่างที่ต้องการหาปริมาณน้ำตาลจำนวน 1.0 มิลลิลิตร ใส่ในหลอดทดลองสำหรับหลอดที่ไม่มีสารตัวอย่าง (blank) ใช้น้ำกลั่น
- 2) เติมน้ำกลั่น DNS solution ลงไปในแต่ละหลอด ๆ ละ 1 มิลลิลิตร ผสมให้เข้ากัน
- 3) ต้มในน้ำเดือดเป็นเวลา 20 นาที
- 4) ทำให้เย็นอย่างรวดเร็ว โดยการนำหลอดไปแช่ในอ่างน้ำแข็ง
- 5) เติมน้ำให้ครบ 10 มิลลิลิตร ผสมให้เข้ากัน
- 6) นำไปตรวจวัดค่าการดูดกลืนแสงด้วยเครื่องสเปกโตร โฟโตมิเตอร์ที่ความยาวคลื่น 520 นาโนเมตร แล้วนำค่าการดูดกลืนแสงไปเทียบกับกราฟมาตรฐานของน้ำตาลที่ทราบค่าความเข้มข้นที่แน่นอน

### 4 ปัญหาที่อาจเกิดขึ้นในการวิเคราะห์และแนวทางแก้ไข

- 1) ได้ค่าการดูดกลืนแสงไม่แน่นอนในการวัดแต่ละครั้ง อาจเกิดจากความร้อนที่ให้ไม่สม่ำเสมอ แก้ไขโดยการให้เวลาในการเกินพอดูดสูด และเพื่อให้ได้ค่าที่แม่นยำมากขึ้น ควรทำซุคน้ำตาลความเข้มข้นมาตรฐานทุกครั้งที่ทำการทดลอง
- 2) ไอออนของโลหะบางชนิด เช่น Mn, Co และ Ca จะเพิ่มปฏิกิริยาในการวิเคราะห์นี้ได้
- 3) วิธีการนี้ไม่เหมาะสมกับสารตัวอย่างที่มีความเป็นกรุบมาก



#### ภาคผนวก จ

การวิเคราะห์ปริมาณของอินูลิน (inulin) (Wei Lingyun, 2006)

การวิเคราะห์ปริมาณของอินูลิน (inulin) (Wei Lingyun, 2006)

### 1. วิธีวิเคราะห์

1) วัดปริมาณคาร์โบไฮเดรตทั้งหมด หรือน้ำตาลทั้งหมด (Total Sugar) ด้วยวิธี Phenol – sulfuric โดยใช้อินูลิน เป็นสารมาตรฐาน

2) วัดปริมาณน้ำตาลรีดิวช์ (Reducing Sugar) ด้วยวิธี Dinitrosalicylic acid (DNS) โดยใช้ D (-) – Fructose (MW = 180.16, Fluka) เป็นสารมาตรฐาน

### 2. การคำนวณปริมาณของอินูลิน

#### Inulin content

$$= \frac{\text{ปริมาณคาร์โบไฮเดรตทั้งหมด หรือน้ำตาลทั้งหมด} - \text{ปริมาณน้ำตาลรีดิวช์}}{\text{(Total Sugar)}} \times 100$$

#### Inulin extraction yield (เปอร์เซ็นต์)

$$= \frac{\text{Inulin content} \times \text{volume of extraction liquid}}{\text{mass of artichoke powder}} \times 100$$

#### **ภาคผนวก ๔**

การวัดการเจริญของจุลินทรีย์โดยการนับจำนวนเซลล์ที่มีชีวิต (Viable cell count) ด้วยวิธีการ Spread plate

การวัดการเจริญของจุลินทรีย์โดยการนับจำนวนเซลล์ที่มีชีวิต (Viable cell count) ด้วยวิธีการ Spread plate เป็นวิธีการนับเซลล์ที่มีชีวิตที่เจริญอยู่บนอาหารแข็ง

### 1. หลักการ

เซลล์จุลินทรีย์ที่ยังมีชีวิตอยู่ (viable cell) เมื่อนำมาเดี่ยงบนอาหารแข็งจะสามารถเจริญแบ่งเซลล์ จนมองเห็นได้เป็นรูปโคลoni (Visible colony form)

การนับจำนวนเซลล์จะนับจำนวนโคลoni ที่เกิดขึ้น (Colony forming unit, CfU) ที่ปริมาตรหนึ่งบริมาตร ได้ของ liquid culture โดยที่ปกติเซลล์ที่อยู่ในช่วง Exponential Growth Phase หรือเซลล์ที่อยู่ในช่วง Early Stationary phase จะสามารถเจริญเป็นโคลoni ได้ ดังนั้นการนับจำนวนโคลoni จึงสามารถนับได้ใกล้เคียงกับจำนวนของ viable cells ข้อที่สำคัญคือ โคลoni ที่เกิดขึ้นนั้นสามารถจาก 1 เซลล์เท่านั้น

### 2. วิธีการ

- 1) เตรียม Diluent ที่เหมาะสม เช่น normal saline (0.85 % w/v in H<sub>2</sub>O)
- 2) เช็คบริเวณ โดาะที่จะทำการ spread plate ให้สะอาดด้วยแอลกอฮอล์ 70 %
- 3) เจือจางตัวอย่างด้วย diluent ปลодเชื้อ ให้มีความเจือจางที่ต้องการ (สมมติเป็น 100 เท่า)

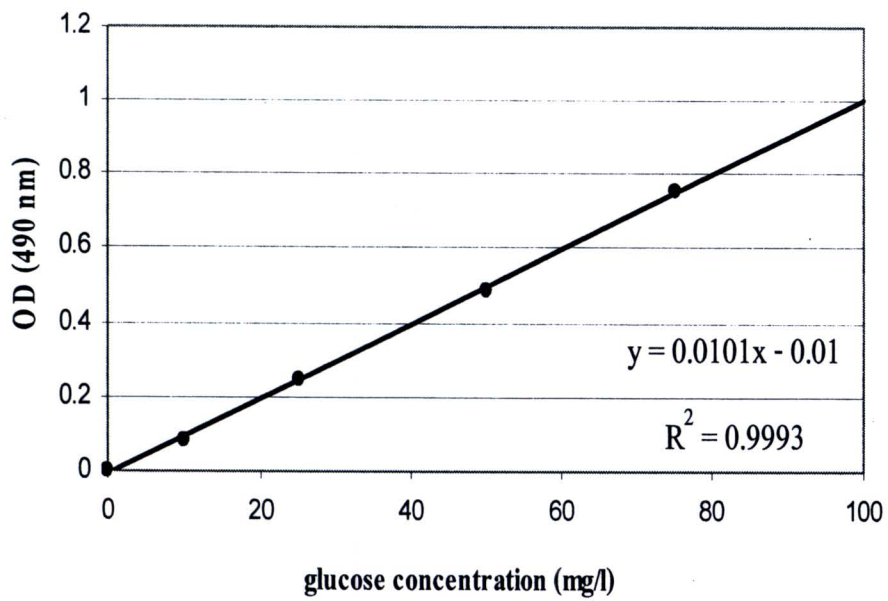
คำวิธี serial dilution ดังนี้

- 3.1) ปีเปตตัวอย่าง 1 มิลลิลิตร ใส่ลงใน diluent ปลодเชื้อ 9 มิลลิลิตร (หลอดที่ 1)  
เขย่าให้เข้ากันโดยใช้ vortex mixer หลอดนี้จะมีความเจือจาง 1:10
  - 3.2) ใช้ปีเปตยันใหม่ดูดตัวอย่างจากหลอดที่ 1 มิลลิลิตร ใส่ลงใน diluent ปลอดเชื้อ 9 มิลลิลิตร (หลอดที่ 2) เขย่าให้เข้ากันโดยใช้ vortex mixer หลอดนี้จะมีความเจือจาง 1:100
  - 3.3) ทำเช่นนี้จนได้ความเจือจางที่ต้องการ
  - 4) ปีเปตตัวอย่างที่เจือจางแล้ว 0.1 มิลลิลิตร ลงบนผิวน้ำอาหารแข็ง (YPA agar)
  - 5) นำแท่งแก้วจุ่มแอลกอฮอล์ผ่านไฟ ปล่อยให้เย็น (ราว 10-15 วินาที) เกลี่ยท่าเชื้อให้กระจายทั่วผิวน้ำอาหาร
  - 6) นำจานอาหารไปปั่นที่อุณหภูมิ 30 องศาเซลเซียส โดยกว่าajan ลง เป็นเวลา 24 ชั่วโมง
  - 7) นับจำนวนโคลoni ต่อจานเชื้อในระหว่าง 30-300 โคลoni แล้วคำนวณกลับเป็นจำนวนของจุลินทรีย์ต่อ 1.0 มิลลิลิตร
- หมายเหตุ : หากตัวอย่างที่ต้องการแยกมีจำนวนจุลินทรีย์ต่ำ ไม่จำเป็นต้องทำ serial dilution

**ภาคผนวก ช**  
**กราฟมาตรฐาน**

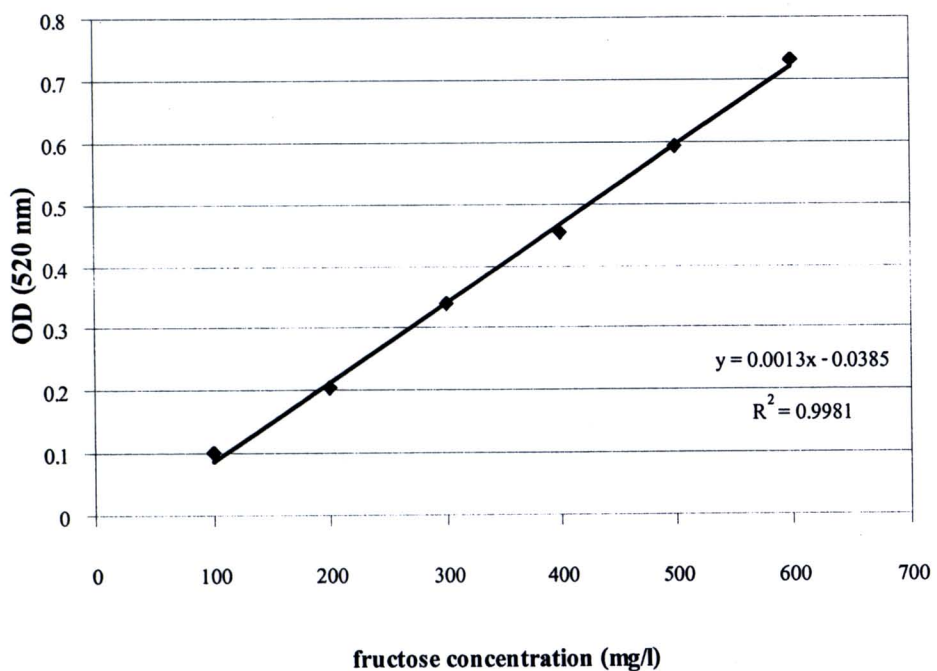
กราฟมาตรฐานน้ำตาลทั้งหมด (Total sugar)

glucose concentration (mg/l)	OD (490 nm)
0	0
1	0.018
5	0.046
10	0.082
25	0.244
50	0.49
75	0.756
100	1.022



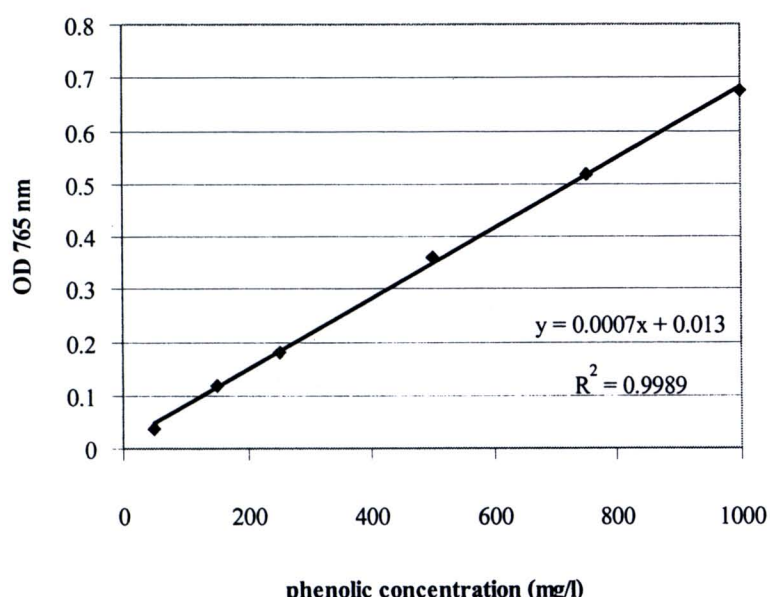
กราฟมาตรฐานน้ำตาลรีดิวช์ (Reducing sugar)

fructose concentration (mg/l)	OD (520 nm.)
100	0.101
200	0.206
300	0.338
400	0.454
500	0.593
600	0.73



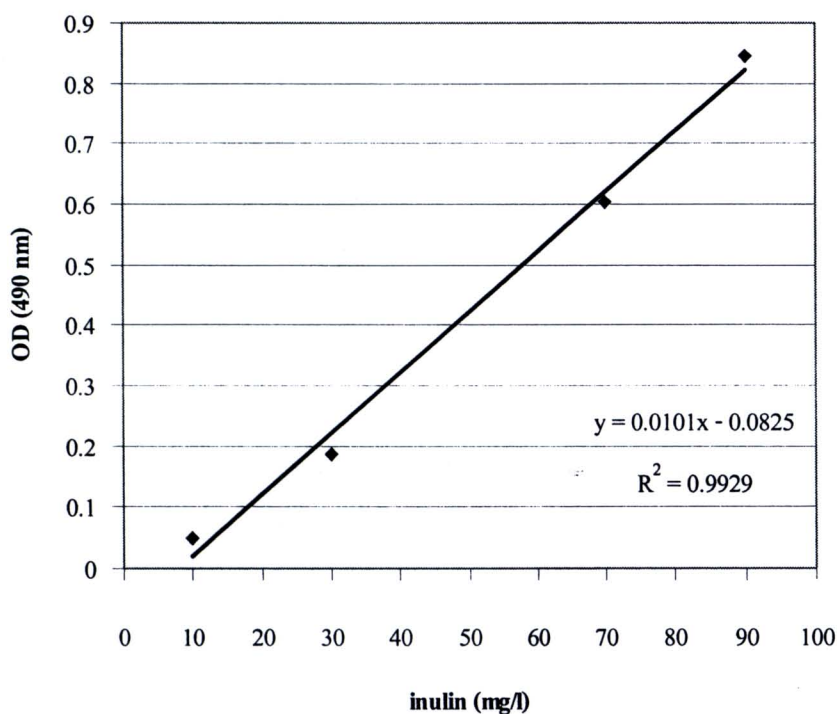
### กราฟมาตรฐานสารประกอบฟีโนลิก (Phenolic compound)

phenolic concentration (mg/l)	OD (765 nm.)
50	0.035
150	0.119
250	0.180
500	0.358
750	0.516
1000	0.674



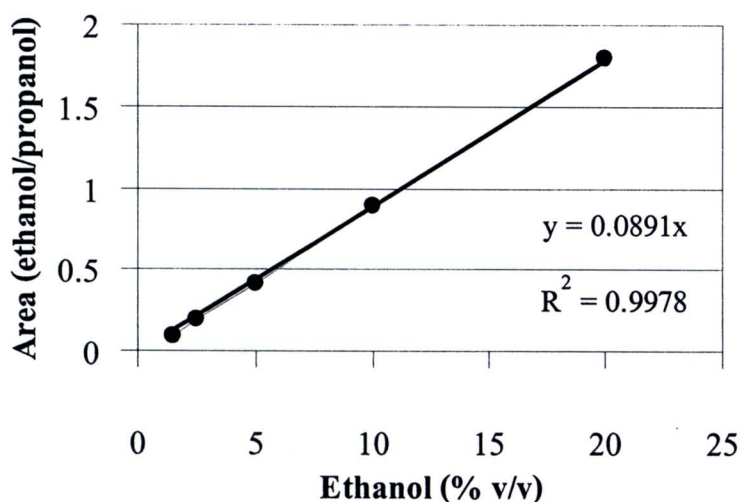
### กราฟมาตรฐานอินูลิน (Inulin)

Inulin (mg/l)	OD (490 nm)
10	0.048
30	0.186
70	0.603
90	0.846

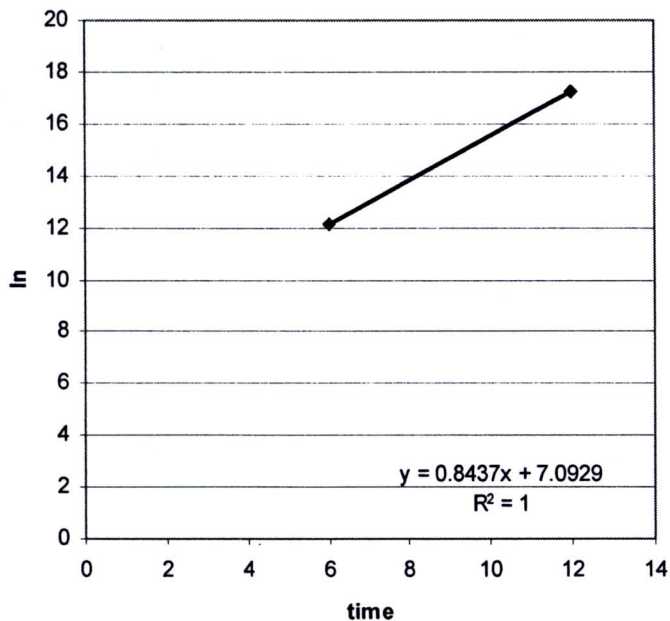


### กราฟมาตรฐานเอทานอล (Ethanol)

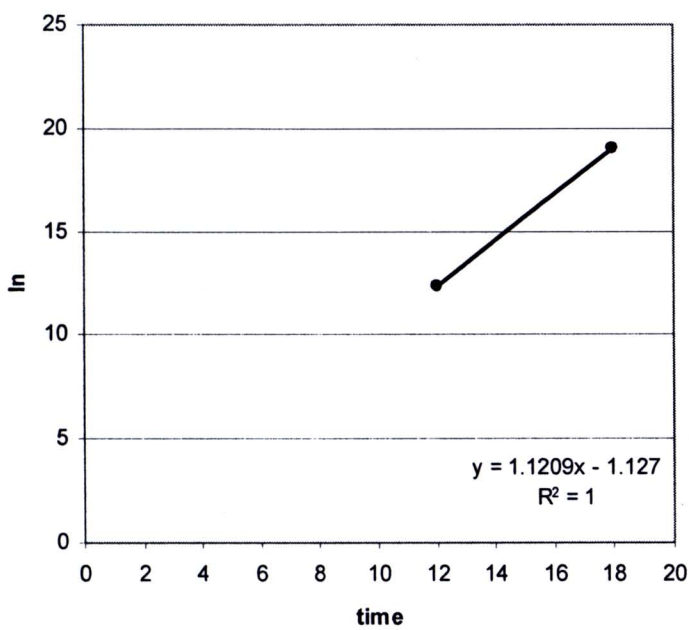
Ethanol (% v/v)	Area (ethanol/propanol)
1.5	0.092
2.5	0.191
5	0.409
10	0.896
20	1.796



ภาคผนวก ๔  
กราฟทางอัตราการเจริญจำเพาะ



กราฟแสดงการหาค่าอัตราการเจริญจำเพาะ ( $\mu$ ) ของ *Z. mobilis* TISTR 548 ในอาหารเหลว YPG โดยวิธีนับจำนวนเซลล์โดยตรง (viable cell count)



กราฟแสดงการหาค่าอัตราการเจริญจำเพาะ ( $\mu_{max}$ ) ของ *Z. mobilis* TISTR 548 ในน้ำสกัดจากหัวแคนตะวัน โดยวิธีนับจำนวนเซลล์โดยตรง (viable cell count)

**ภาคผนวก ณ**

**องค์ประกอบของน้ำคั้นจากหัวแก่นตะวันหลังผ่านการปรับสภาพด้วยกรดที่อุณหภูมิ 80 องศาเซลเซียส**

องค์ประกอบของน้ำคั้นจากหัวแก่นตะวันหลังผ่านการปรับสภาพค่าวิเคราะห์อุณหภูมิ 80 องศาเซลเซียส

ปริมาณน้ำตาลทั้งหมด (Total sugars)	157 (g/l)
ปริมาณน้ำตาลฟรuctose (Fructose)	139.00 (g/l)
ปริมาณน้ำตาลกลูโคส (Glucose)	11.7 (g/l)
ปริมาณน้ำตาลซูครอส (Sucrose)	6.3 (g/l)



